

## Infecção primária da corrente sanguínea: análise do indicador nacional das unidades de terapia intensiva brasileiras no ano de 2013.

### INTRODUÇÃO

A Organização Mundial da Saúde (OMS) reconhece o fenômeno das infecções relacionadas à assistência à saúde (IRAS) como um problema de saúde pública e preconiza que as autoridades, em âmbito nacional e regional, desenvolvam ações com vistas à redução do risco desses agravos. Entre as IRAS mais frequentes, estão as infecções primárias de corrente sanguínea (IPCS), que têm consequências sistêmicas graves – bacteremia ou sepse –, sem foco primário identificável, podendo ser diagnosticadas como laboratorialmente confirmadas (IPCSL), ou seja, com hemocultura positiva, ou somente por critérios clínicos (IPCSC). Estima-se que cerca de 60% das bacteremias nosocomiais sejam associadas a algum dispositivo intravascular. Dentre os mais frequentes fatores de risco conhecidos para IPCS, podemos destacar o uso de cateteres vasculares centrais. Os conceitos e os critérios para a vigilância das IPCS estão descritos no manual “Critérios nacionais de infecções relacionadas à assistência à saúde: corrente sanguínea”, publicado pela Agência Nacional de Vigilância Sanitária (Anvisa) no ano de 2009.

O Programa de Segurança do Paciente da OMS elenca 13 áreas de atuação, entre as quais se destaca a ação de “Eliminação das infecções de corrente sanguínea associadas ao uso de cateter venoso central”, com a qual se objetiva concentrar esforços para a prevenção, controle e eliminação dessas infecções em serviços de saúde.

Em conformidade com as orientações da OMS, a Anvisa instituiu, em setembro de 2013, o Programa Nacional de Prevenção e Controle de Infecções Relacionadas à Assistência à Saúde (PNPCIRAS), que tem como um de seus objetivos a redução de infecções primárias de corrente sanguínea. Para o alcance desse objetivo, o programa estabeleceu como meta nacional a redução do indicador de IPCS em 15%, tendo como valor de referência o percentil 90 dos dados notificados em 2012.

Este boletim tem como finalidade apresentar um resumo descritivo das notificações recebidas pela Anvisa para o indicador nacional de controle de infecção: densidade de incidência de infecção primária de corrente sanguínea em pacientes em uso de cateter venoso central (CVC) internados em unidades de terapia intensiva (UTIs) neonatais, pediátricas e de adultos durante o ano de 2013.

A coleta de dados para o indicador foi estabelecida pela Anvisa em 2010, com o intuito de obter informações sobre a ocorrência das IRAS nas UTIs dos hospitais brasileiros e propor mecanismos de redução dessas infecções, atendendo aos dispositivos previstos na Portaria nº 2.616/98. No início desse processo, foi definido como meta o monitoramento dos hospitais com dez ou mais leitos de UTI registrados no Cadastro Nacional de Estabelecimentos de Saúde (CNES) no ano de 2010, os chamados hospitais prioritários. Nos anos seguintes, foram agregados dados de outros

---

Nesta Edição:

Introdução

Metodologia

Resultados

Discussão

Limitações

Considerações Finais

Agradecimentos

Anexo

---

hospitais, de acordo com a demanda realizada pelas coordenações estaduais, municipais e distrital de controle de infecção hospitalar. Portanto, o número de hospitais notificantes excedeu o número de hospitais prioritários para o ano de 2013. Com a ampliação das notificações e o maior envolvimento dos serviços de saúde, a partir de janeiro de 2014 todos os hospitais que tinham algum leito de UTI passaram a ter obrigação de notificar. Esta alteração aumentou o número de hospitais prioritários de 1.144 para 1.887, de acordo com o CNES.

## METODOLOGIA

Para o ano de 2013, foi estabelecida a obrigatoriedade de notificação de IPCS para os hospitais com dez ou mais leitos de UTI. Em 2010, segundo o CNES, esse número correspondia a 1.144 hospitais.

As notificações foram realizadas pelas comissões de controle de infecção hospitalar (CCIH) dos hospitais, sob a orientação das coordenações estaduais, municipais e distrital de controle de infecção hospitalar.

Os dados apresentados neste boletim foram coletados de forma descen-

tralizada, em sua maioria por meio de formulário eletrônico (FormSUS versão 3.0), e se referem ao período de janeiro a dezembro de 2013. Os estados de São Paulo, Paraná e Amazonas, que possuem sistemas e ferramentas eletrônicas próprias de vigilância de IRAs, encaminharam seus dados separadamente, em planilhas que foram agregadas ao banco de dados nacional.

Todos os dados foram reunidos em uma base nacional por um processo de edição de diferentes planilhas em formato Excel, retiradas do FormSUS no dia 7 de julho de 2014. A esse conjunto foram anexadas as planilhas dos estados citados, que não utilizam a ferramenta FormSUS. Em seguida, foram efetuados alguns procedimentos visando a limpeza e a organização do banco de dados, que envolveram: a padronização dos registros; a identificação e a exclusão de notificações repetidas; e a exclusão de registros que possuíam dados incongruentes como, por exemplo, número de infecções maior do que o número de cateteres venosos centrais.

Foram calculadas as densidades de incidência de IPCSC e de IPCSL por unidade da Federação para UTI

adulto, pediátrica e neonatal, esta última estratificada por peso: menos de 750 g, de 750 g a 999 g, de 1.000 g a 1.499 g, de 1.500 g a 2.499 g e mais de 2.500 g. Também foram calculados os percentis-chave para a distribuição das densidades de incidência de IPCS laboratorial nos estados que apresentaram um conjunto de pelo menos 15 hospitais (10%, 25%, 50%, 75% e 90%). Além disso, foram incluídos nos cálculos dos percentis os hospitais que apresentaram pelos menos 50 cateteres venosos centrais-dia no período analisado. Os registros com numeradores e denominadores do indicador expressos em números decimais foram desconsiderados para o cálculo do indicador, assim como os registros que apresentaram o denominador zerado ou com campo vazio para CVC-dia.

Cabe ressaltar que os dados encaminhados pelo Paraná referem-se às infecções de corrente sanguínea associadas ao uso de CVC em UTI adulto e em UTI pediátrica confirmadas laboratorialmente, devido à adoção, por esse estado, de um sistema de vigilância diferenciado, que não estratifica os dados de IPCS neonatal por categorias de peso.

## RESULTADOS

Em 2013, foi agrupado no banco de dados nacional um total de 13.356 notificações válidas de IRAS provenientes das unidades de terapia intensiva de 1.256 hospitais brasileiros localizados nas 27 unidades da Federação. O Gráfico 1 mostra que tanto o número de hospitais que notificam como a quantidade de notificações que eles enviam vêm aumentando desde 2011.

Gráfico 1 – Número de hospitais e de notificações enviadas, de 2011 a 2013.

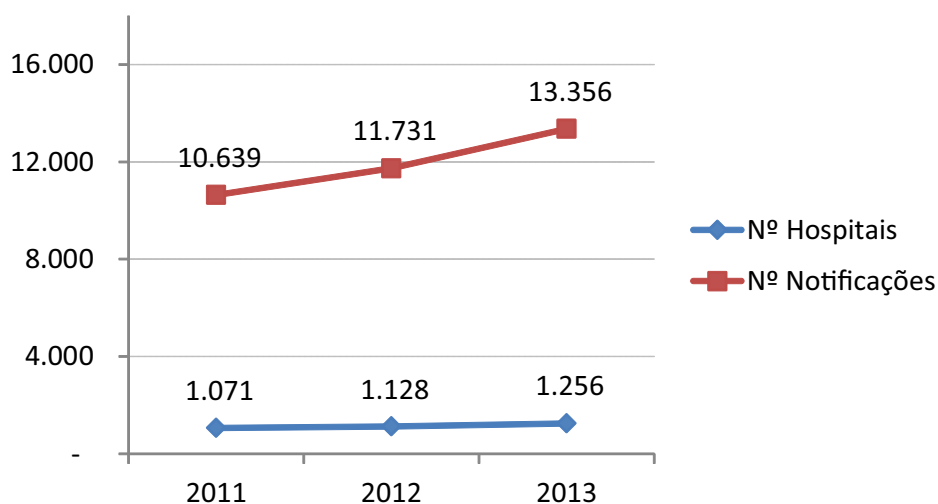
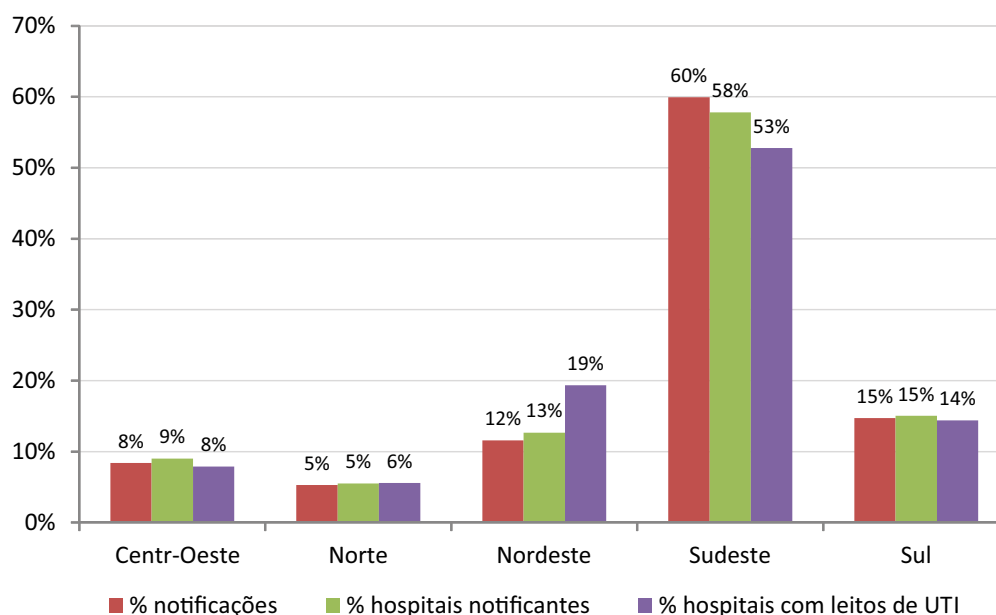


Gráfico 2. Proporção de notificação de IRAS em UTI, proporção de hospitais notificantes e proporção de hospitais que possuem leitos de UTI\*, por região geográfica.



\*Fonte: Ministério da Saúde - Cadastro Nacional dos Estabelecimentos de Saúde do Brasil – CNES, julho de 2013.

De acordo com o Gráfico 2, a região Sudeste, que possui 53% de hospitais com leitos de UTI, concentra 60% das notificações de IRAS e 58% dos hospitais notificantes; já a região Norte, que possui 6% de hospitais com leitos de UTI, concentra 5% tanto das notificações como dos hospitais notificantes em 2013.

A regularidade mensal de notificações de um hospital indica a existência de uma rotina estabelecida de coleta de dados. Idealmente, todos os hospitais deveriam notificar nos 12 meses do ano. O Gráfico 3 mostra que 81% dos hospitais notificaram no mínimo em 11 meses. Considerando apenas a região Sudeste, esse número sobe para 87,2%. No Nordeste, 69% dos serviços notificaram no mínimo em 11 meses, enquanto que 21% notificaram em menos de sete meses do ano. O Gráfico 6 ilustra o número de hospitais que realizaram notificações em cada mês de 2013. Verificou-se que os 1.256 hospitais informaram seus dados, em média, em 10,6 meses no período analisado.

Gráfico 3. Distribuição da regularidade de envio de notificações, por região geográfica, em 2013.

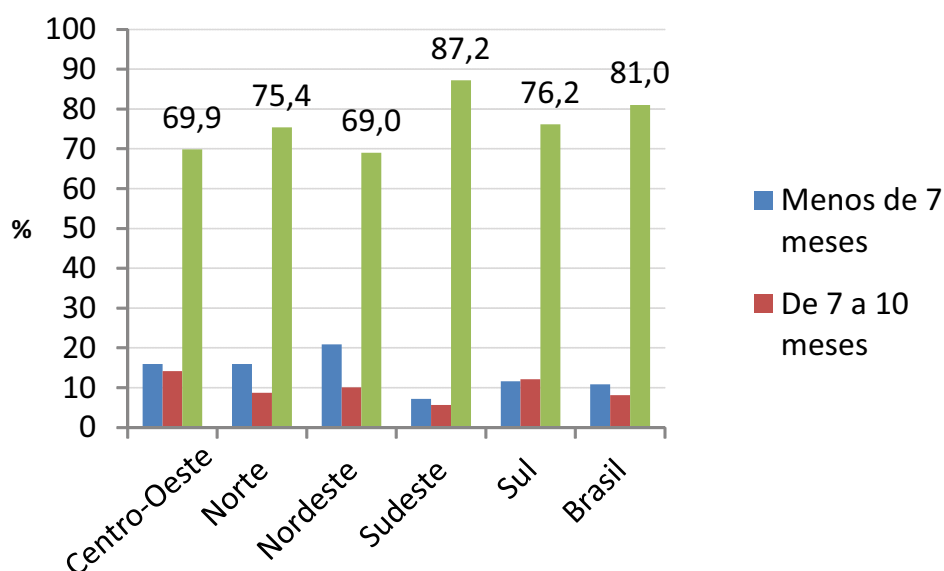
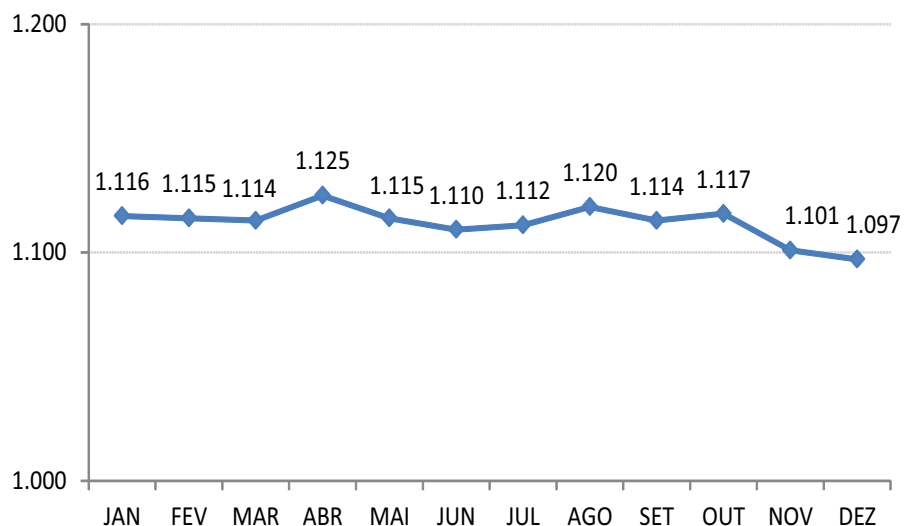
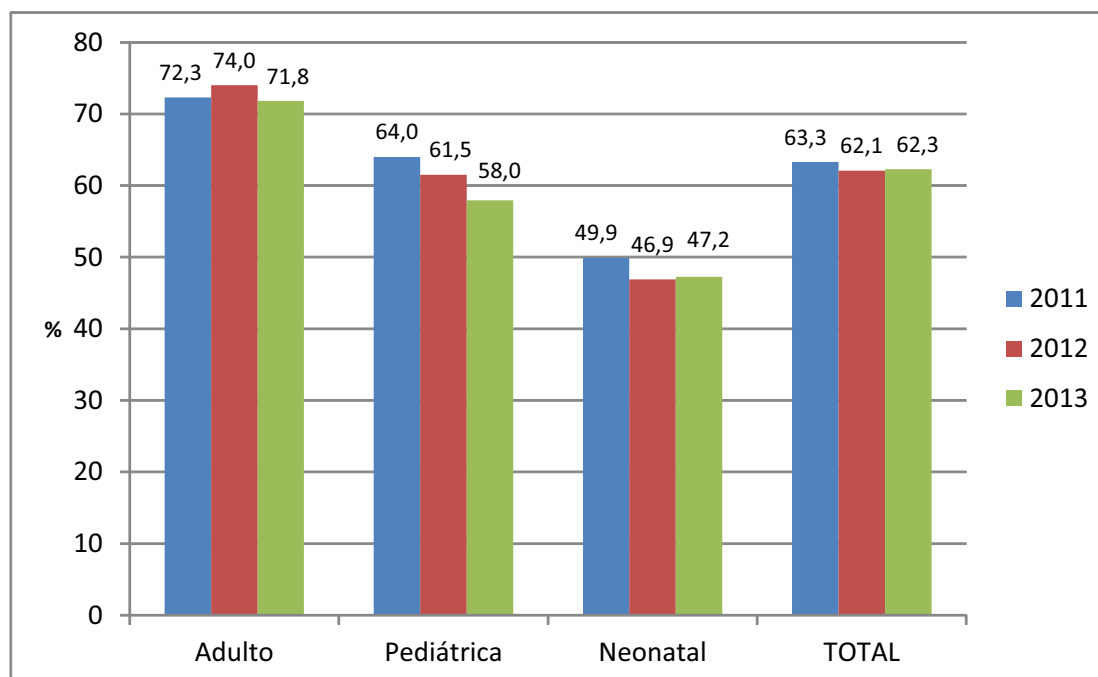


Gráfico 4. Quantidade mensal de hospitais que notificaram IPCS em UTIs no ano de 2013.



Foram notificadas 38.737 IPCS referentes ao período de janeiro a dezembro de 2013, sendo 21.957 (56,7%) em UTI adulto, 4.034 (10,4%) em UTI pediátrica e 12.746 (32,9%) em UTI neonatal. A proporção de IPCS notificadas com confirmação laboratorial foi de 62,3% no geral, 71,8% em UTI adulto, 58% em UTI pediátrica e 47,2% em UTI neonatal.

Gráfico 5. Proporção de IPCS notificadas com confirmação laboratorial em 2011, 2012 e 2013, por tipo de UTI.



As Tabelas 1 e 2 apresentam os resultados para a densidade de incidência de IPCS e os percentis-chave da distribuição das densidades hospitalares no Brasil, em 2013. Nos anexos deste boletim constam as tabelas com todos os resultados, estratificados por unidade da Federação.

Tabela 1: Densidade de incidência de infecção primária de corrente sanguínea clínica e laboratorial em pacientes em uso de CVC, internados em UTIs brasileiras (2013).

| Tipo de UTI           | Nº de hospitais* | Nº IPCSC+ | Nº IPCSL± | Catetere Venoso Central-dia | Paciente-Dia | Densidade Incidência Clínica § | Densidade Incidência Laboratorial § |
|-----------------------|------------------|-----------|-----------|-----------------------------|--------------|--------------------------------|-------------------------------------|
| <b>UTIs adulto</b>    | 1.102            | 6.187     | 15.770    | 2.839.157                   | 5.005.094    | 2,2                            | 5,6                                 |
| <b>UTI pediátrica</b> | 406              | 1.696     | 2.338     | 326.870                     | 626.208      | 5,2                            | 7,2                                 |
| <b>UTI neonatal</b>   |                  |           |           |                             |              |                                |                                     |
| Menos de 750 g        | 433              | 517       | 570       | 51.725                      | 85.006       | 10,0                           | 11,0                                |
| De 750 g a 999 g      | 464              | 958       | 1.005     | 98.284                      | 167.044      | 9,7                            | 10,2                                |
| De 1.000 g a 1.499 g  | 500              | 1.735     | 1.670     | 173.805                     | 335.184      | 10,0                           | 9,6                                 |
| De 1.500 g a 2.499 g  | 512              | 1.841     | 1.554     | 183.184                     | 445.550      | 10,1                           | 8,5                                 |
| Mais de 2.500 g       | 514              | 1.673     | 1.223     | 154.481                     | 373.296      | 10,8                           | 7,9                                 |

\*Número de hospitais com notificações de IPCS e CVC-dia>0

+Número de casos de IPCS com confirmação clínica

±Número de casos de IPCS com confirmação laboratorial

§=  $\frac{\text{Nº de casos novos de IPCS no período}}{\text{Nº de cateteres venosos centrais-dia}} \times 1.000$

Tabela 2: Percentis da distribuição das densidades de incidência de IPCS laboratorial em pacientes em uso de CVC internados em UTIs brasileiras (2013).

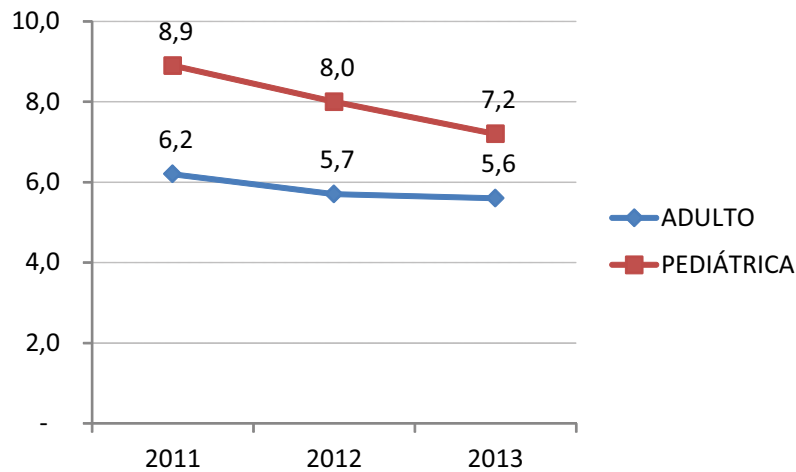
| Tipo de UTI          | Nº de hospitais* | Densidade Incidência Laboratorial § | Percentis+ |     |     |      |      |
|----------------------|------------------|-------------------------------------|------------|-----|-----|------|------|
|                      |                  |                                     | 10%        | 25% | 50% | 75%  | 90%  |
| UTI adulto           | 1.101 (1.073)    | 5,6                                 | 0,0        | 1,4 | 4,1 | 8,1  | 13,3 |
| UTI pediátrica       | 406 (374)        | 7,2                                 | 0,0        | 1,2 | 4,7 | 9,9  | 16,6 |
| UTI neonatal         |                  |                                     |            |     |     |      |      |
| Menos de 750 g       | 433 (245)        | 11,0                                | 0,0        | 0,0 | 8,4 | 17,0 | 28,7 |
| De 750 g a 999 g     | 464 (377)        | 10,2                                | 0,0        | 0,0 | 6,0 | 15,2 | 22,4 |
| De 1.000 g a 1.499 g | 500 (454)        | 9,6                                 | 0,0        | 0,0 | 6,6 | 12,0 | 20,4 |
| De 1.500 g a 2.499 g | 512 (466)        | 8,5                                 | 0,0        | 0,0 | 5,3 | 11,9 | 21,4 |
| Mais de 2.500 g      | 514 (449)        | 7,9                                 | 0,0        | 0,0 | 5,2 | 12,0 | 18,5 |

\*Número de hospitais com notificações de IPCS e CVC-dia>0. Entre parênteses consta o número de hospitais que atenderam os requisitos para o cálculo dos percentis (CVC-dia no período>50)

§=  $\frac{\text{Nº de casos novos de IPCS no período}}{\text{Nº de cateteres venosos centrais-dia}} \times 1.000$

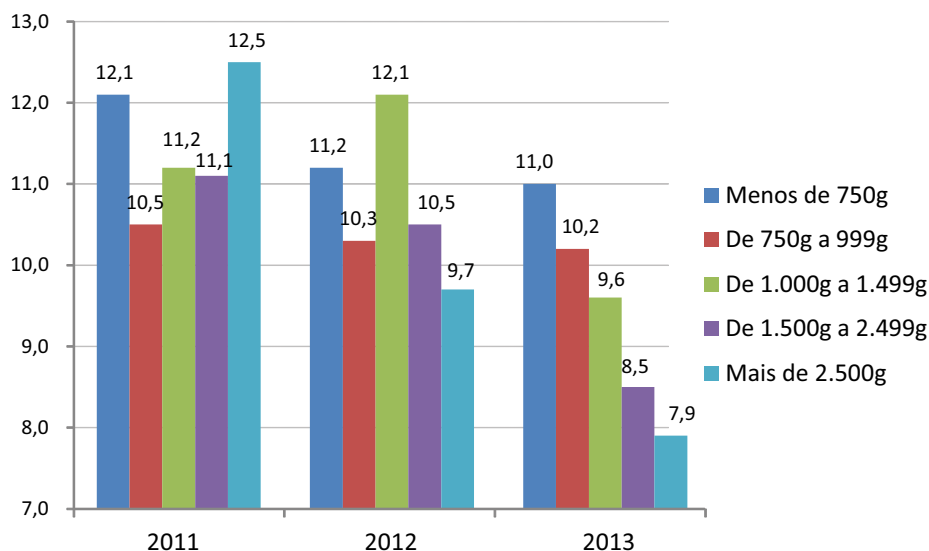
As densidades de incidência de IPCS laboratorial em pacientes em uso de CVC, internados em UTI adulto e pediátrica, vêm diminuindo desde 2011, como ilustrado no Gráfico 6. Nesse ano, as notificações recebidas indicaram 6,2 e 8,9 infecções por mil cateteres-dia em pacientes internados em UTI adulto e pediátrica, respectivamente. Já em 2013, esses valores foram de 5,6 e 7,2, o que representa uma redução da ordem de 11% nas UTIs de adultos e 24% nas pediátricas. Considerando as medianas das incidências, o valor se manteve em 4,1 nas UTIs de adultos e, nas UTIs pediátricas, diminuiu de 5,4 (em 2011) para 4,7 (em 2013).

Gráfico 6 – Densidades de incidência de IPCS laboratorial em pacientes em uso de CVC internados em UTI adulto e pediátrica, de 2011 a 2013.



As densidades de incidência de IPCS laboratorial em pacientes em uso de CVC, internados em UTI neonatal e categorizados por peso ao nascer, estão ilustradas no Gráfico 7. Observando-se as colunas relativas ao ano de 2013, nota-se uma associação entre peso ao nascer e risco de infecção. A incidência de infecção diminui na medida em que o peso ao nascer aumenta. Percebe-se também que a maior redução de incidência de infecção ocorreu nas UTIs neonatais em crianças nascidas com mais de 2.500 g. Em 2011, a densidade de incidência de IPCS laboratorial nesta categoria foi de 12,5 infecções por mil cateteres-dia. Já em 2013, este valor foi de 7,9, o que representa uma redução de 58%.

Gráfico 7 - Densidades de incidência de IPCS laboratorial em pacientes em uso de CVC internados em UTI neonatal, de acordo com o peso ao nascer, de 2011 a 2013.



## DISCUSSÃO

Até 2010, não existia nenhum modelo de coleta de dados nacionais para notificação de infecções relacionadas à assistência à saúde. Nesse ano, após a publicação dos critérios nacionais de infecções, a Anvisa priorizou a coleta de informações sobre as infecções primárias de corrente sanguínea associada a cateter venoso central de pacientes internados em UTI (adulto, pediátrica e neonatal), o que foi um marco para a vigilância epidemiológica das IRAS. O sistema de notificação no ano de 2013 ainda teve como meta os hospitais com dez ou mais leitos de UTI, que no ano de 2010 totalizavam 1.144. Deve-se

observar que a meta inicial de hospitais notificantes foi alcançada, uma vez que houve adesão de 1.256 hospitais. Isso foi possível porque vários hospitais com menos de dez leitos de UTI também notificaram.

Em 2013, verificou-se uma melhora quanto à regularidade do envio dos dados, pois 81% dos hospitais encaminharam as notificações em pelo menos 11 meses, enquanto que em 2012 esse valor foi de 75%. Em 2010, apenas 46,2% dos hospitais enviaram dados relativos aos 12 meses do ano. Esta proporção aumentou para 56,6% em 2011 e para 70% em 2012; já em 2013, 74% dos hospitais enviaram dados completos. Essa melhora ano a ano é fundamental, pois sugere uma evolução da cultura de notificação nos hospitais participantes.

Uma das metas do Programa Nacional de Prevenção e Controle de Infecções Relacionadas à Assistência à Saúde é a adesão à notificação, até 2015, de 80% de 1.887 hospitais, apresentando regularidade de notificação de 12 meses. O alcance dessa e de outras metas propostas no programa é fundamental para a consolidação do sistema de vigilância epidemiológica das IPCS em todos os hospitais que possuem unidade de terapia intensiva.

Conforme apresentado nos resultados, 58% dos hospitais notificantes (Gráfico 2) encontram-se na região Sudeste, contribuindo com 60% das notificações obtidas no período. Assim como ocorreu nos anos anteriores, São Paulo, que possui 24,6% dos hospitais com leitos de UTI, é o estado com maior participação. Do total de hospitais notificantes, 33,1% são do estado de São Paulo, responsável por 36,7% do total de notificações. Por outro lado, alguns estados ainda mantêm uma baixa representatividade de hospitais notificantes, como é o caso do Rio de Janeiro, Paraíba, Alagoas, Amapá, Bahia, Ceará e Rio Grande do Sul.

Isso mostra que o atual modelo de notificações ainda funciona de maneira heterogênea no país e depende do modo de atuação das CECIH e também das CCIH, que se encontram em diferentes níveis de estruturação e funcionamento. E assim como ocorreu nos anos anteriores, a falta de homogeneidade nos processos de monitoramento das IRAS provoca um tipo de viés de seleção no conjunto de dados de IPCS, o que faz com que ocorra representatividade desproporcional das unidades federadas. Alguns estados contribuem com um volume de informação maior e mais consistente, enquanto em outros o processo ainda se mostra muito insuficiente. Apesar disso, é inegável a melhoria da qualidade da informação obtida nos anos mais recentes. Os resultados obtidos para a avaliação do indicador de IPCS mostraram que a maioria das infecções notificadas em UTI no ano de 2013 teve confirmação laboratorial (62,3%), sendo que novamente o maior índice de confirmação microbiológica se deu em UTI adulto (71,8%).

A mediana observada para a densidade de incidência de IPCSL em UTI adulto foi de 4,1 infecções por mil cateteres-dia. Essa medida não apresenta diferença significativa com relação a 2012, quando foi observada uma mediana de 4,2. As densidades mais altas no grupo de hospitais brasileiros ficaram acima de 13,3 infecções por mil cateteres-dia em aproximadamente 107 hospitais.

Em relação às UTIs pediátricas, verificou-se que a mediana observada nesse grupo foi de 4,7 infecções por mil cateteres-dia e que as taxas mais altas estão em torno de 16,6 infecções por mil cateteres-dia (percentil 90).

As UTI neonatais persistem com o menor índice de IPCS com análise microbiológica. Esses dados mostram que há a necessidade de se estimular a confirmação laboratorial das IRAS, visando a adequação terapêutica, além de contribuir para a redução da resistência microbiana. As maiores taxas de IPCS foram observadas na menor categoria de peso ao nascer (menos de 750 g), com mediana de 8,4 infecções por mil cateteres-dia. Os resultados do indicador em UTI neonatal sugerem que a incidência de IPCS está associada à categoria de peso ao nascer (Tabela 2).

Ressalta-se que os dados de IPCS apresentados neste boletim compreendem hospitais com características diversas no que diz respeito ao seu porte e nível de complexidade e à criticidade dos pacientes, além das especificidades regionais. Nesse sentido, a taxa agregada nacional (pooled mean) é uma estatística genérica que expressa a média global do indicador e que não permite comparações entre as unidades. Os percentis-chave são medidas mais adequadas para que os hospitais possam situar em que faixa se encontram dentro do conjunto.

## LIMITAÇÕES

Conforme ocorrido nos anos anteriores, em 2013 também foi observado um número elevado de hospitais que apresentaram taxas zeradas em todos os tipos de UTI, o que pode indicar subnotificação de casos e falha nos métodos de vigilância. As taxas mais baixas (abaixo do percentil 10 e, em algumas categorias de UTI, abaixo do percentil 25) também podem ser resultado de um método inadequado de detecção de infecções nessas unidades.

Outro ponto importante diz respeito à limitação da interpretação do indicador de IPCS em razão da inconsistência dos dados fornecidos pelas instituições para a variável paciente-dia, situação já apresentada no Boletim nº 6 e que não mostrou alteração. Muitos hospitais continuam deixando este campo zerado ou com valores incompatíveis com o total de CVC-dia em suas UTIs; dessa forma, as taxas de utilização de CVC calculadas no nível estadual ficaram superestimadas e por esse motivo não são apresentadas neste relatório, assim como ocorreu em 2012.

O indicador de IPCS encontra-se diluído em dois componentes (clínico e laboratorial) que utilizam o mesmo denominador (CVC-dia). Dessa forma, por não haver confirmação microbiológica para todos os casos notificados, tem-se como premissa uma densidade de IPCSL subestimada. A situação ideal para melhorar a qualidade do indicador seria aumentar a proporção de casos com confirmação laboratorial, especialmente nas UTIs neonatais, que apresentam uma baixa proporção de IPCSL notificados.

A densidade de incidência de IPCS é um indicador de interpretação complexa, pois se trata de uma medida muito específica que, de certa forma, resume a segurança e a qualidade dos hospitais, já que esse tipo de infecção pode ser prevenida por meio da correta técnica de inserção e manejo adequado do dispositivo. Desse modo, a análise dos resultados atualmente disponíveis deve ser feita com ressalvas, sendo necessário ponderar alguns elementos do atual contexto, tais como subnotificação, representatividade, ausência de informações que caracterizem as unidades e a própria qualidade da informação, que segue melhorando, mas ainda não é a ideal.

## CONSIDERAÇÕES FINAIS

No ano de 2013, houve um aumento de hospitais que notificam e conseqüentemente o número de notificações recebidas, o que reflete de forma significativa no fortalecimento do sistema de vigilância de IRAS no Brasil, em especial das IPCS. É importante destacar que as CCIH dos hospitais têm sido protagonistas nesse processo.

Ainda há muito o que se fazer, como, por exemplo, o desenvolvimento de um sistema de informação que proporcione a coleta e a análise dos dados com mais qualidade; a ampliação da capacidade laboratorial dos hospitais, a fim de aumentar as notificações de IPCS com confirmação microbiológica; o aumento da adesão dos hospitais quanto ao número e à frequência das notificações; a melhoria da capacidade técnica dos profissionais de saúde envolvidos no diagnóstico, tratamento e notificação das IPCS; e uma maior utilização do uso dos critérios nacionais para diagnóstico das IRAS, de forma a padronizar a definição de caso. Todos esses fatores refletem na qualidade dos dados e são desafios a serem superados para a consolidação do sistema de vigilância de IRAS no Brasil.

## Expediente

### Agência Nacional de Vigilância Sanitária (Anvisa)

Sia Trecho 5, área especial 57, Lote 200  
71025 - 050 - Brasília-DF  
Telefone: 61 3462 6000

### Diretor-presidente substituto

Jaime César de Moura Oliveira

### Diretores

Renato Alencar Porto  
Ivo Bucaresky  
José Carlos da Silva Moutinho

### Equipe técnica

Ana Clara Ribeiro Bello,  
André Anderson Carvalho

Daniel Lopes  
Fabiana Cristina de Souza  
Heiko Thereza Santana  
Humberto Luiz Couto Amaral de Moura  
Karla de Araujo Ferreira  
Luana Teixeira Morelo  
Magda Machado de Miranda Costa  
Mara Rúbia Santos Gonçalves  
Maria Dolores Santos da Purificação  
Nogueira  
Paulo Affonso Bezerra de Almeida Galeão  
Suzie Marie Gomes

### Comissão Nacional de Prevenção e Controle de Infecção Relacionada à Assistência à Saúde (CNCIRAS)

Denise Brandão de Assis  
Fátima Maria Nery Fernandes

Ida Zoz de Sousa  
Maria das Graças Guerreiro Pereira  
Rosana Maria Rangel dos Santos  
Zilah C. P. das Neves  
Luis Fernando Waib  
Maria Clara Padoveze  
Ricardo de Souza Kuchenbecker  
Marcos Antonio Cyrillo  
Adriana Cristina de Oliveira  
Mariana Pastorello Verotti

### Revisão técnica

Geraldine Madalosso/CVE-SP

### Revisão gramatical

Dulce Bergmann - Ascom/Anvisa

Este boletim informativo destina-se a divulgação e promoção das ações de Segurança do Paciente e da Qualidade em Serviços de Saúde. Qualquer parte desta publicação pode ser reproduzida, desde que citada a fonte. Todos os direitos reservados à Anvisa.



**ANVISA**  
Agência Nacional de Vigilância Sanitária

Ministério da  
Saúde





## Anexos

Tabela 3 – Número de notificações de IRAS, hospitais que notificaram nesse período e quantidade de hospitais prioritários por unidade da Federação, em 2013.

| UF     | Nº de notificações | % de notificações | Nº de hospitais que notificaram | % de hospitais que notificaram | Nº de hospitais prioritários* | % de hospitais prioritários* |
|--------|--------------------|-------------------|---------------------------------|--------------------------------|-------------------------------|------------------------------|
| AC     | 44                 | 0,3               | 4                               | 0,3                            | 7                             | 0,4                          |
| AL     | 12                 | 0,1               | 1                               | 0,1                            | 21                            | 1,1                          |
| AM     | 348                | 2,6               | 29                              | 2,3                            | 22                            | 1,2                          |
| AP     | 10                 | 0,1               | 1                               | 0,1                            | 8                             | 0,4                          |
| BA     | 343                | 2,6               | 37                              | 2,9                            | 78                            | 4,1                          |
| CE     | 97                 | 0,7               | 13                              | 1,0                            | 53                            | 2,8                          |
| DF     | 360                | 2,7               | 36                              | 2,9                            | 38                            | 2,0                          |
| ES     | 390                | 2,9               | 37                              | 2,9                            | 46                            | 2,4                          |
| GO     | 477                | 3,6               | 48                              | 3,8                            | 65                            | 3,4                          |
| MA     | 213                | 1,6               | 20                              | 1,6                            | 30                            | 1,6                          |
| MG     | 1.215              | 9,1               | 113                             | 9,0                            | 188                           | 10,0                         |
| MS     | 111                | 0,8               | 11                              | 0,9                            | 23                            | 1,2                          |
| MT     | 176                | 1,3               | 18                              | 1,4                            | 23                            | 1,2                          |
| PA     | 127                | 1,0               | 16                              | 1,3                            | 40                            | 2,1                          |
| PB     | 44                 | 0,3               | 6                               | 0,5                            | 45                            | 2,4                          |
| PE     | 466                | 3,5               | 42                              | 3,3                            | 71                            | 3,8                          |
| PI     | 110                | 0,8               | 13                              | 1,0                            | 22                            | 1,2                          |
| PR     | 1.006              | 7,5               | 93                              | 7,4                            | 118                           | 6,3                          |
| RJ     | 1.495              | 11,2              | 160                             | 12,7                           | 298                           | 15,8                         |
| RN     | 139                | 1,0               | 16                              | 1,3                            | 31                            | 1,6                          |
| RO     | 69                 | 0,5               | 8                               | 0,6                            | 17                            | 0,9                          |
| RR     | 13                 | 0,1               | 2                               | 0,2                            | 3                             | 0,2                          |
| RS     | 421                | 3,2               | 48                              | 3,8                            | 94                            | 5,0                          |
| SC     | 542                | 4,1               | 48                              | 3,8                            | 60                            | 3,2                          |
| SE     | 125                | 0,9               | 11                              | 0,9                            | 14                            | 0,7                          |
| SP     | 4.908              | 36,7              | 416                             | 33,1                           | 464                           | 24,6                         |
| TO     | 95                 | 0,7               | 9                               | 0,7                            | 8                             | 0,4                          |
| Brasil | 13.356             | 100,0             | 1.256                           | 100,0                          | 1.887                         | 100,0                        |

\*Hospitais que possuem algum leito de UTI. Fonte: Ministério da Saúde - Cadastro Nacional de Estabelecimentos de Saúde – CNES, setembro de 2013.

Tabela 4: Densidade de incidência de infecção primária de corrente sanguínea clínica e laboratorial em pacientes em uso de cateter venoso central (CVC) internados em UTI adulto, por unidade da Federação, em 2013.

| UF     | Nº de hospitais* | Nº IPCSC+ | Nº IPCSL± | Cateter Venoso Central-Dia | Paciente-Dia | Densidade Incidência Clínica§ | Densidade Incidência Laboratorial§ |
|--------|------------------|-----------|-----------|----------------------------|--------------|-------------------------------|------------------------------------|
| AC     | 2                | -         | 12        | 5.240                      | 6.263        | 0,0                           | 2,3                                |
| AL     | 1                | 7         | 12        | 1.625                      | 2.161        | 4,3                           | 7,4                                |
| AM     | 20               | 178       | 203       | 40.731                     | 61.117       | 4,4                           | 5,0                                |
| AP     | 1                | 11        | 10        | 565                        | 841          | 19,5                          | 17,7                               |
| BA     | 32               | 187       | 518       | 96.150                     | 144.048      | 1,9                           | 5,4                                |
| CE     | 10               | 134       | 116       | 26.254                     | 44.356       | 5,1                           | 4,4                                |
| DF     | 30               | 130       | 471       | 108.793                    | 162.957      | 1,2                           | 4,3                                |
| ES     | 32               | 228       | 549       | 78.387                     | 165.401      | 2,9                           | 7,0                                |
| GO     | 41               | 331       | 291       | 78.516                     | 126.188      | 4,2                           | 3,7                                |
| MA     | 16               | 111       | 209       | 30.195                     | 45.533       | 3,7                           | 6,9                                |
| MG     | 102              | 705       | 1.420     | 244.796                    | 404.806      | 2,9                           | 5,8                                |
| MS     | 10               | 40        | 94        | 13.568                     | 21.700       | 2,9                           | 6,9                                |
| MT     | 16               | 93        | 154       | 41.087                     | 61.760       | 2,3                           | 3,7                                |
| PA     | 13               | 70        | 155       | 35.647                     | 23.415       | 2,0                           | 4,3                                |
| PB     | 4                | 8         | 52        | 4.529                      | 7.145        | 1,8                           | 11,5                               |
| PE     | 38               | 716       | 1.427     | 169.934                    | 319.249      | 4,2                           | 8,4                                |
| PI     | 10               | 243       | 210       | 21.338                     | 32.075       | 11,4                          | 9,8                                |
| PR     | 91               | -         | 897       | 138.179                    | 279.386      | 0,0                           | 6,5                                |
| RJ     | 123              | 1.319     | 2.136     | 362.147                    | 566.224      | 3,6                           | 5,9                                |
| RN     | 14               | 36        | 68        | 16.716                     | 43.642       | 2,2                           | 4,1                                |
| RO     | 8                | 67        | 182       | 14.140                     | 18.333       | 4,7                           | 12,9                               |
| RR     | 1                | -         | 4         | 4.725                      | 5.745        | 0,0                           | 0,8                                |
| RS     | 45               | 313       | 666       | 130.940                    | 154.143      | 2,4                           | 5,1                                |
| SC     | 38               | 235       | 443       | 95.624                     | 144.940      | 2,5                           | 4,6                                |
| SE     | 9                | 97        | 87        | 25.319                     | 33.699       | 3,8                           | 3,4                                |
| SP     | 389              | 918       | 5.379     | 1.038.858                  | 2.107.984    | 0,9                           | 5,2                                |
| TO     | 6                | 10        | 5         | 15.154                     | 21.983       | 0,7                           | 0,3                                |
| Brasil | 1.102            | 6.187     | 15.770    | 2.839.157                  | 5.005.094    | 2,2                           | 5,6                                |

\*Número de hospitais com CVC-dia>0 no período.

+Número de casos de IPCS com confirmação clínica.

±Número de casos de IPCS com confirmação laboratorial.

§=  $\frac{\text{Nº de casos novos de IPCS no período}}{\text{Nº de cateteres venosos centrais-dia}} \times 1.000$

Tabela 5: Densidade de incidência de infecção primária de corrente sanguínea clínica e laboratorial em pacientes em uso de cateter venoso central (CVC) internados em UTI pediátrica, por unidade da Federação, em 2013.

| UF     | Nº de hospitais* | Nº IPCSC+ | Nº IPCSL± | Cateter Venoso Central-Dia | Paciente-Dia | Densidade Incidência Clínica§ | Densidade Incidência Laboratorial§ |
|--------|------------------|-----------|-----------|----------------------------|--------------|-------------------------------|------------------------------------|
| AC     | 2                | 6         | 8         | 1.252                      | 1.743        | 4,8                           | 6,4                                |
| AL     | 0                | -         | -         | -                          | -            | 0,0                           | 0,0                                |
| AM     | 11               | 278       | 266       | 16.604                     | 24.151       | 16,7                          | 16,0                               |
| AP     | 0                | -         | -         | -                          | -            | 0,0                           | 0,0                                |
| BA     | 12               | 65        | 64        | 14.673                     | 22.005       | 4,4                           | 4,4                                |
| CE     | 4                | 12        | 20        | 1.943                      | 4.251        | 6,2                           | 10,3                               |
| DF     | 10               | 50        | 49        | 13.931                     | 23.875       | 3,6                           | 3,5                                |
| ES     | 13               | 40        | 64        | 5.658                      | 12.162       | 7,1                           | 11,3                               |
| GO     | 9                | 54        | 55        | 4.937                      | 13.555       | 10,9                          | 11,1                               |
| MA     | 4                | 1         | 2         | 313                        | 441          | 3,2                           | 6,4                                |
| MG     | 39               | 114       | 210       | 36.509                     | 56.153       | 3,1                           | 5,8                                |
| MS     | 3                | 5         | 27        | 3.246                      | 5.003        | 1,5                           | 8,3                                |
| MT     | 6                | 5         | 25        | 2.511                      | 4.750        | 2,0                           | 10,0                               |
| PA     | 9                | 4         | 16        | 3.705                      | 7.518        | 1,1                           | 4,3                                |
| PB     | 3                | 4         | 28        | 2.891                      | 5.340        | 1,4                           | 9,7                                |
| PE     | 14               | 92        | 246       | 15.166                     | 27.489       | 6,1                           | 16,2                               |
| PI     | 4                | 365       | 11        | 2.675                      | 4.411        | 136,4                         | 4,1                                |
| PR     | 19               | -         | 87        | 12.012                     | 25.632       | 0,0                           | 7,2                                |
| RJ     | 45               | 205       | 188       | 28.590                     | 55.684       | 7,2                           | 6,6                                |
| RN     | 5                | 4         | 10        | 1.553                      | 4.448        | 2,6                           | 6,4                                |
| RO     | 2                | 19        | 72        | 2.089                      | 1.702        | 9,1                           | 34,5                               |
| RR     | 0                | -         | -         | -                          | -            | 0,0                           | 0,0                                |
| RS     | 20               | 62        | 74        | 9.186                      | 16.527       | 6,7                           | 8,1                                |
| SC     | 11               | 113       | 86        | 9.301                      | 15.159       | 12,1                          | 9,2                                |
| SE     | 2                | 26        | 12        | 2.522                      | 4.602        | 10,3                          | 4,8                                |
| SP     | 158              | 172       | 717       | 134.137                    | 286.865      | 1,3                           | 5,3                                |
| TO     | 1                | -         | 1         | 1.466                      | 2.742        | 0,0                           | 0,7                                |
| Brasil | 406              | 1.696     | 2.338     | 326.870                    | 626.208      | 5,2                           | 7,2                                |

\*Número de hospitais com CVC-dia&gt;0 no período.

+Número de casos de IPCS com confirmação clínica.

±Número de casos de IPCS com confirmação laboratorial.

§=  $\frac{\text{Nº de casos novos de IPCS no período}}{\text{Nº de cateteres venosos centrais-dia}} \times 1.000$

Tabela 6: Densidade de incidência de infecção primária de corrente sanguínea clínica e laboratorial em pacientes em uso de cateter venoso central (CVC) internados em UTI neonatal (peso ao nascer menor que 750 g), por unidade da Federação, em 2013.

| UF     | Nº de hospitais* | Nº IPCSC+ | Nº IPCSL± | Cateter Venoso Central-Dia | Paciente-Dia | Densidade Incidência Clínica§ | Densidade Incidência Laboratorial§ |
|--------|------------------|-----------|-----------|----------------------------|--------------|-------------------------------|------------------------------------|
| AC     | 1                | -         | 1         | 271                        | 375          | 0,0                           | 3,7                                |
| AL     | 1                | -         | 6         | 200                        | 1.741        | 0,0                           | 30,0                               |
| AM     | 9                | 22        | 5         | 1.063                      | 1.329        | 20,7                          | 4,7                                |
| AP     | 1                | -         | -         | 5                          | 5            | 0,0                           | 0,0                                |
| BA     | 10               | 17        | 10        | 965                        | 1.030        | 17,6                          | 10,4                               |
| CE     | 2                | 2         | 3         | 111                        | 118          | 18,0                          | 27,0                               |
| DF     | 16               | 14        | 33        | 2.368                      | 3.001        | 5,9                           | 13,9                               |
| ES     | 17               | 23        | 14        | 1.353                      | 2.097        | 17,0                          | 10,3                               |
| GO     | 6                | 10        | 3         | 528                        | 558          | 18,9                          | 5,7                                |
| MA     | 3                | 9         | 16        | 585                        | 1.582        | 15,4                          | 27,4                               |
| MG     | 44               | 96        | 106       | 8.323                      | 12.121       | 11,5                          | 12,7                               |
| MS     | 2                | 8         | 7         | 634                        | 780          | 12,6                          | 11,0                               |
| MT     | 7                | 2         | 8         | 514                        | 649          | 3,9                           | 15,6                               |
| PA     | 7                | 2         | 5         | 325                        | 318          | 6,2                           | 15,4                               |
| PB     | 2                | 1         | -         | 21                         | 21           | 47,6                          | 0,0                                |
| PE     | 14               | 39        | 29        | 2.317                      | 3.602        | 16,8                          | 12,5                               |
| PI     | 2                | 5         | 1         | 147                        | 103          | 34,0                          | 6,8                                |
| PR     | -                | -         | -         | -                          | -            | -                             | -                                  |
| RJ     | 49               | 67        | 57        | 6.097                      | 11.275       | 11,0                          | 9,3                                |
| RN     | 6                | 12        | 8         | 445                        | 959          | 27,0                          | 18,0                               |
| RO     | 1                | -         | 9         | 177                        | 234          | 0,0                           | 50,8                               |
| RR     | -                | -         | -         | -                          | -            | -                             | -                                  |
| RS     | 19               | 18        | 12        | 4.193                      | 4.102        | 4,3                           | 2,9                                |
| SC     | 21               | 31        | 17        | 1.471                      | 2.238        | 21,1                          | 11,6                               |
| SE     | 3                | 12        | 11        | 684                        | 957          | 17,5                          | 16,1                               |
| SP     | 187              | 114       | 209       | 18.513                     | 31.004       | 6,2                           | 11,3                               |
| TO     | 3                | 13        | -         | 415                        | 4.807        | 31,3                          | 0,0                                |
| Brasil | 433              | 517       | 570       | 51.725                     | 85.006       | 10,0                          | 11,0                               |

\*Número de hospitais com CVC-dia>0 no período.

+Número de casos de IPCS com confirmação clínica.

±Número de casos de IPCS com confirmação laboratorial.

§=  $\frac{\text{Nº de casos novos de IPCS no período}}{\text{Nº de cateteres venosos centrais-dia}} \times 1.000$

Nº de cateteres venosos centrais-dia

Tabela 7: Densidade de incidência de infecção primária de corrente sanguínea clínica e laboratorial em pacientes em uso de cateter venoso central (CVC) internados em UTI neonatal (peso ao nascer de 750 g a 999 g), por unidade da Federação, em 2013.

| UF     | Nº de hospitais* | Nº IPCSC+ | Nº IPCSL± | Cateter Venoso Central-Dia | Paciente-Dia | Densidade Incidência Clínica§ | Densidade Incidência Laboratorial§ |
|--------|------------------|-----------|-----------|----------------------------|--------------|-------------------------------|------------------------------------|
| AC     | 1                | 4         | 4         | 400                        | 784          | 10,0                          | 10,0                               |
| AL     | 1                | 6         | 4         | 423                        | 2.168        | 14,2                          | 9,5                                |
| AM     | 11               | 78        | 31        | 2.579                      | 3.433        | 30,2                          | 12,0                               |
| AP     | -                | -         | -         | -                          | -            | -                             | -                                  |
| BA     | 10               | 25        | 17        | 2.190                      | 3.457        | 11,4                          | 7,8                                |
| CE     | 5                | 20        | 14        | 807                        | 1.002        | 24,8                          | 17,3                               |
| DF     | 15               | 30        | 66        | 4.171                      | 6.465        | 7,2                           | 15,8                               |
| ES     | 18               | 36        | 29        | 3.073                      | 4.798        | 11,7                          | 9,4                                |
| GO     | 9                | 30        | 13        | 1.614                      | 2.013        | 18,6                          | 8,1                                |
| MA     | 3                | 3         | 11        | 522                        | 1.487        | 5,7                           | 21,1                               |
| MG     | 51               | 141       | 188       | 15.575                     | 22.267       | 9,1                           | 12,1                               |
| MS     | 4                | 5         | 6         | 665                        | 830          | 7,5                           | 9,0                                |
| MT     | 8                | 7         | 17        | 1.409                      | 1.950        | 5,0                           | 12,1                               |
| PA     | 8                | 13        | 15        | 1.332                      | 1.319        | 9,8                           | 11,3                               |
| PB     | 1                | 3         | -         | 93                         | 182          | 32,3                          | 0,0                                |
| PE     | 14               | 55        | 41        | 3.846                      | 7.406        | 14,3                          | 10,7                               |
| PI     | 2                | 59        | 39        | 786                        | 918          | 75,1                          | 49,6                               |
| PR     | -                | -         | -         | -                          | -            | -                             | -                                  |
| RJ     | 53               | 102       | 70        | 9.064                      | 18.765       | 11,3                          | 7,7                                |
| RN     | 7                | 16        | 13        | 764                        | 1.663        | 20,9                          | 17,0                               |
| RO     | 1                | 4         | 21        | 360                        | 685          | 11,1                          | 58,3                               |
| RR     | 1                | 1         | 1         | 3                          | 34           | 333,3                         | 333,3                              |
| RS     | 20               | 28        | 22        | 5.133                      | 6.484        | 5,5                           | 4,3                                |
| SC     | 24               | 61        | 47        | 4.235                      | 6.526        | 14,4                          | 11,1                               |
| SE     | 3                | 15        | 15        | 1.325                      | 2.396        | 11,3                          | 11,3                               |
| SP     | 191              | 204       | 315       | 36.906                     | 64.039       | 5,5                           | 8,5                                |
| TO     | 3                | 12        | 6         | 1.009                      | 5.973        | 11,9                          | 5,9                                |
| Brasil | 464              | 958       | 1.005     | 98.284                     | 167.044      | 9,7                           | 10,2                               |

\*Número de hospitais com CVC-dia>0 no período.

+Número de casos de IPCS com confirmação clínica.

±Número de casos de IPCS com confirmação laboratorial.

§=  $\frac{\text{Nº de casos novos de IPCS no período}}{\text{Nº de cateteres venosos centrais-dia}} \times 1.000$

Tabela 8: Densidade de incidência de infecção primária de corrente sanguínea clínica e laboratorial em pacientes em uso de cateter venoso central (CVC) internados em UTI neonatal (peso ao nascer de 1.000 g a 1.499 g), por unidade da Federação, em 2013.

| UF     | Nº de hospitais* | Nº IPCSC+ | Nº IPCSL± | Cateter Venoso Central-Dia | Paciente-Dia | Densidade Incidência Clínica§ | Densidade Incidência Laboratorial§ |
|--------|------------------|-----------|-----------|----------------------------|--------------|-------------------------------|------------------------------------|
| AC     | 1                | 5         | 3         | 916                        | 2.095        | 5,5                           | 3,3                                |
| AL     | 1                | 8         | 14        | 726                        | 2.634        | 11,0                          | 19,3                               |
| AM     | 12               | 186       | 81        | 6.741                      | 9.673        | 27,6                          | 12,0                               |
| AP     | 10               | 9         | 7         | 285                        | 317          | 31,6                          | 24,6                               |
| BA     | 11               | 24        | 26        | 3.022                      | 5.538        | 7,9                           | 8,6                                |
| CE     | 5                | 30        | 23        | 1.714                      | 2.822        | 17,5                          | 13,4                               |
| DF     | 16               | 43        | 102       | 8.390                      | 14.389       | 5,1                           | 12,2                               |
| ES     | 20               | 73        | 61        | 6.447                      | 12.745       | 11,3                          | 9,5                                |
| GO     | 9                | 29        | 27        | 2.680                      | 4.404        | 10,8                          | 10,1                               |
| MA     | 4                | 5         | 8         | 604                        | 1.133        | 8,3                           | 13,2                               |
| MG     | 55               | 300       | 307       | 27.926                     | 46.505       | 10,7                          | 11,0                               |
| MS     | 4                | 10        | 7         | 1.061                      | 1.552        | 9,4                           | 6,6                                |
| MT     | 9                | 18        | 32        | 2.978                      | 6.367        | 6,0                           | 10,7                               |
| PA     | 8                | 18        | 47        | 2.436                      | 3.456        | 7,4                           | 19,3                               |
| PB     | 2                | 10        | 1         | 389                        | 814          | 25,7                          | 2,6                                |
| PE     | 14               | 74        | 48        | 5.318                      | 12.965       | 13,9                          | 9,0                                |
| PI     | 2                | 124       | 90        | 1.517                      | 1.686        | 81,7                          | 59,3                               |
| PR     | -                | -         | -         | -                          | -            | -                             | -                                  |
| RJ     | 60               | 178       | 77        | 14.866                     | 37.570       | 12,0                          | 5,2                                |
| RN     | 7                | 47        | 23        | 1.583                      | 3.602        | 29,7                          | 14,5                               |
| RO     | 1                | 8         | 25        | 784                        | 1.555        | 10,2                          | 31,9                               |
| RR     | 1                | -         | -         | 15                         | 15           | 0,0                           | 0,0                                |
| RS     | 22               | 57        | 38        | 8.526                      | 13.916       | 6,7                           | 4,5                                |
| SC     | 24               | 101       | 63        | 7.505                      | 13.473       | 13,5                          | 8,4                                |
| SE     | 3                | 22        | 20        | 2.645                      | 5.406        | 8,3                           | 7,6                                |
| SP     | 205              | 338       | 535       | 63.088                     | 123.291      | 5,4                           | 8,5                                |
| TO     | 3                | 18        | 5         | 1.643                      | 7.261        | 11,0                          | 3,0                                |
| Brasil | 509              | 1.735     | 1.670     | 173.805                    | 335.184      | 10,0                          | 9,6                                |

\*Número de hospitais com CVC-dia>0 no período.

+Número de casos de IPCS com confirmação clínica.

±Número de casos de IPCS com confirmação laboratorial.

§=  $\frac{\text{Nº de casos novos de IPCS no período}}{\text{Nº de cateteres venosos centrais-dia}} \times 1.000$

Nº de cateteres venosos centrais-dia

Tabela 9: Densidade de incidência de infecção primária de corrente sanguínea clínica e laboratorial em pacientes em uso de cateter venoso central (CVC) internados em UTI neonatal (peso ao nascer de 1.500 g a 2.499 g), por unidade da Federação, em 2013.

| UF     | Nº de hospitais* | Nº IPCSC+ | Nº IPCSL± | Cateter Venoso Central-Dia | Paciente-Dia | Densidade Incidência Clínica§ | Densidade Incidência Laboratorial§ |
|--------|------------------|-----------|-----------|----------------------------|--------------|-------------------------------|------------------------------------|
| AC     | 1                | 1         | -         | 352                        | 1.211        | 2,8                           | 0,0                                |
| AL     | 1                | 2         | 11        | 545                        | 2.601        | 3,7                           | 20,2                               |
| AM     | 12               | 157       | 57        | 6.963                      | 11.828       | 22,5                          | 8,2                                |
| AP     | 1                | 2         | 2         | 68                         | 79           | 29,4                          | 29,4                               |
| BA     | 11               | 25        | 19        | 2.700                      | 6.894        | 9,3                           | 7,0                                |
| CE     | 5                | 23        | 21        | 1.120                      | 2.298        | 20,5                          | 18,8                               |
| DF     | 16               | 74        | 120       | 10.353                     | 19.118       | 7,1                           | 11,6                               |
| ES     | 20               | 86        | 47        | 7.870                      | 17.722       | 10,9                          | 6,0                                |
| GO     | 9                | 39        | 25        | 2.572                      | 5.247        | 15,2                          | 9,7                                |
| MA     | 4                | 11        | 15        | 606                        | 1.635        | 18,2                          | 24,8                               |
| MG     | 56               | 313       | 252       | 32.544                     | 59.857       | 9,6                           | 7,7                                |
| MS     | 4                | 7         | 11        | 1.303                      | 2.306        | 5,4                           | 8,4                                |
| MT     | 9                | 13        | 38        | 3.263                      | 9.060        | 4,0                           | 11,6                               |
| PA     | 8                | 14        | 51        | 1.709                      | 3.086        | 8,2                           | 29,8                               |
| PB     | 2                | 6         | -         | 117                        | 334          | 51,3                          | 0,0                                |
| PE     | 14               | 54        | 39        | 3.786                      | 12.918       | 14,3                          | 10,3                               |
| PI     | 2                | 97        | 55        | 915                        | 1.059        | 106,0                         | 60,1                               |
| PR     | -                | -         | -         | -                          | -            | -                             | -                                  |
| RJ     | 69               | 342       | 103       | 18.369                     | 61.898       | 18,6                          | 5,6                                |
| RN     | 8                | 33        | 13        | 862                        | 2.799        | 38,3                          | 15,1                               |
| RO     | 1                | 3         | 18        | 492                        | 1.638        | 6,1                           | 36,6                               |
| RR     | 1                | -         | -         | 4                          | -            | 0,0                           | 0,0                                |
| RS     | 22               | 73        | 47        | 8.544                      | 19.615       | 8,5                           | 5,5                                |
| SC     | 24               | 119       | 62        | 6.973                      | 16.903       | 17,1                          | 8,9                                |
| SE     | 3                | 35        | 13        | 1.859                      | 5.087        | 18,8                          | 7,0                                |
| SP     | 213              | 292       | 528       | 67.218                     | 171.234      | 4,3                           | 7,9                                |
| TO     | 3                | 20        | 7         | 2.077                      | 9.123        | 9,6                           | 3,4                                |
| Brasil | 519              | 1.841     | 1.554     | 183.184                    | 445.550      | 10,1                          | 8,5                                |

\*Número de hospitais com CVC-dia>0 no período.

+Número de casos de IPCS com confirmação clínica.

±Número de casos de IPCS com confirmação laboratorial.

§=  $\frac{\text{Nº de casos novos de IPCS no período}}{\text{Nº de cateteres venosos centrais-dia}} \times 1.000$

Tabela 10: Densidade de incidência de infecção primária de corrente sanguínea clínica e laboratorial em pacientes em uso de cateter venoso central (CVC) internados em UTI neonatal (peso ao nascer mais de 2.500 g), por unidade da Federação, em 2013.

| UF     | Nº de hospitais* | Nº IPCSC+ | Nº IPCSL± | Cateter Venoso Central-Dia | Paciente-Dia | Densidade Incidência Clínica§ | Densidade Incidência Laboratorial§ |
|--------|------------------|-----------|-----------|----------------------------|--------------|-------------------------------|------------------------------------|
| AC     | 1                | -         | -         | 403                        | 956          | 0,0                           | 0,0                                |
| AL     | 1                | -         | 8         | 283                        | 2.390        | 0,0                           | 28,3                               |
| AM     | 12               | 113       | 55        | 4.913                      | 9.131        | 23,0                          | 11,2                               |
| AP     | 1                | 1         | 1         | 55                         | 45           | 18,2                          | 18,2                               |
| BA     | 11               | 18        | 13        | 2.471                      | 6.010        | 7,3                           | 5,3                                |
| CE     | 5                | 11        | 13        | 830                        | 1.398        | 13,3                          | 15,7                               |
| DF     | 17               | 47        | 54        | 7.130                      | 14.136       | 6,6                           | 7,6                                |
| ES     | 20               | 81        | 65        | 7.768                      | 16.662       | 10,4                          | 8,4                                |
| GO     | 10               | 28        | 19        | 1.772                      | 4.793        | 15,8                          | 10,7                               |
| MA     | 4                | 3         | 4         | 344                        | 836          | 8,7                           | 11,6                               |
| MG     | 56               | 239       | 204       | 26.480                     | 47.275       | 9,0                           | 7,7                                |
| MS     | 4                | 5         | 6         | 1.090                      | 1.647        | 4,6                           | 5,5                                |
| MT     | 9                | 25        | 22        | 2.957                      | 7.594        | 8,5                           | 7,4                                |
| PA     | 8                | 11        | 37        | 1.746                      | 3.356        | 6,3                           | 21,2                               |
| PB     | 2                | 2         | 2         | 81                         | 384          | 24,7                          | 24,7                               |
| PE     | 14               | 61        | 42        | 4.339                      | 14.011       | 14,1                          | 9,7                                |
| PI     | 2                | 88        | 65        | 1.114                      | 1.471        | 79,0                          | 58,3                               |
| PR     | -                | -         | -         | -                          | -            | -                             | -                                  |
| RJ     | 63               | 441       | 73        | 18.893                     | 60.924       | 23,3                          | 3,9                                |
| RN     | 8                | 34        | 11        | 836                        | 2.272        | 40,7                          | 13,2                               |
| RO     | 1                | 2         | 17        | 430                        | 1.338        | 4,7                           | 39,5                               |
| RR     | 1                | 2         | 2         | 12                         | 28           | 166,7                         | 166,7                              |
| RS     | 22               | 29        | 25        | 6.108                      | 11.939       | 4,7                           | 4,1                                |
| SC     | 24               | 126       | 61        | 6.637                      | 12.384       | 19,0                          | 9,2                                |
| SE     | 3                | 58        | 9         | 2.113                      | 5.246        | 27,4                          | 4,3                                |
| SP     | 212              | 230       | 415       | 54.147                     | 138.326      | 4,2                           | 7,7                                |
| TO     | 3                | 18        | -         | 1.529                      | 8.744        | 11,8                          | 0,0                                |
| Brasil | 514              | 1.673     | 1.223     | 154.481                    | 373.296      | 10,8                          | 7,9                                |

\*Número de hospitais com CVC-dia>0 no período.

+Número de casos de IPCS com confirmação clínica.

±Número de casos de IPCS com confirmação laboratorial.

§=  $\frac{\text{Nº de casos novos de IPCS no período}}{\text{Nº de cateteres venosos centrais-dia}} \times 1.000$

Nº de cateteres venosos centrais-dia



Tabela 11: Percentis da distribuição das densidades de incidência de infecção primária de corrente sanguínea laboratorial em pacientes em uso de cateter venoso central (CVC) internados em UTI adulto, por unidade da Federação, em 2013.

| UF     | Nº de hospitais* | Densidade Incidência Laboratorial§ | Percentis+ |     |     |      |      |
|--------|------------------|------------------------------------|------------|-----|-----|------|------|
|        |                  |                                    | 10%        | 25% | 50% | 75%  | 90%  |
| AC     | 2                | 2,3                                | -          | -   | -   | -    | -    |
| AL     | 1                | 7,4                                | -          | -   | -   | -    | -    |
| AM     | 20 (20)          | 5,0                                | 0,0        | 1,9 | 3,9 | 8,1  | 11,9 |
| AP     | 1                | 17,7                               | -          | -   | -   | -    | -    |
| BA     | 32 (32)          | 5,4                                | 0,6        | 2,3 | 5,5 | 10,4 | 12,9 |
| CE     | 10               | 4,4                                | -          | -   | -   | -    | -    |
| DF     | 30 (29)          | 4,3                                | 0,0        | 1,3 | 3,3 | 5,1  | 6,6  |
| ES     | 32 (31)          | 7,0                                | 0,0        | 2,2 | 6,2 | 9,3  | 17,1 |
| GO     | 41               | 3,7                                | 0,0        | 0,3 | 3,1 | 5,4  | 9,7  |
| MA     | 16 (16)          | 6,9                                | 0,0        | 1,1 | 4,5 | 8,4  | 18,6 |
| MG     | 102 (101)        | 5,8                                | 0,3        | 2,3 | 4,5 | 8,3  | 11,4 |
| MS     | 10               | 6,9                                | -          | -   | -   | -    | -    |
| MT     | 16 (16)          | 3,7                                | 0,4        | 1,3 | 2,2 | 3,7  | 6,0  |
| PA     | 13               | 4,3                                | -          | -   | -   | -    | -    |
| PB     | 4                | 11,5                               | -          | -   | -   | -    | -    |
| PE     | 38 (38)          | 8,4                                | 1,5        | 4,0 | 6,6 | 8,5  | 19,2 |
| PI     | 10               | 9,8                                | -          | -   | -   | -    | -    |
| PR     | 91 (86)          | 6,5                                | 0,0        | 0,5 | 3,6 | 8,8  | 12,2 |
| RJ     | 123 (118)        | 5,9                                | 0,0        | 1,9 | 4,2 | 7,9  | 14,0 |
| RN     | 14               | 4,1                                | -          | -   | -   | -    | -    |
| RO     | 8                | 12,9                               | -          | -   | -   | -    | -    |
| RR     | 1                | 0,8                                | -          | -   | -   | -    | -    |
| RS     | 45 (43)          | 5,1                                | 0,1        | 1,2 | 3,4 | 6,5  | 12,0 |
| SC     | 38 (37)          | 4,6                                | 0,0        | 1,5 | 4,4 | 6,0  | 10,6 |
| SE     | 9                | 3,4                                | -          | -   | -   | -    | -    |
| SP     | 389 (382)        | 5,2                                | 0,0        | 1,5 | 3,7 | 8,2  | 12,6 |
| TO     | 6                | 0,3                                | -          | -   | -   | -    | -    |
| Brasil | 1.102 (1.073)    | 5,6                                | 0,0        | 1,4 | 4,1 | 8,1  | 13,3 |

\*Número de hospitais com CVC-dia>0 no período. Entre parênteses consta o número de hospitais que atenderam aos requisitos para o cálculo dos percentis (CVC-dia no período>50).

+Os percentis foram calculados para os grupos com nº de hospitais ≥ 15.

§=  $\frac{\text{Nº de casos novos de IPCS no período}}{\text{Nº de cateteres venosos centrais-dia}} \times 1.000$

Tabela 12: Percentis da distribuição das densidades de incidência de infecção primária de corrente sanguínea laboratorial em pacientes em uso de cateter venoso central (CVC) internados em UTI pediátrica, por unidade da Federação, em 2013.

| UF     | Nº de hospitais* | Densidade Incidência Laboratorial§ | Percentis+ |     |     |      |      |
|--------|------------------|------------------------------------|------------|-----|-----|------|------|
|        |                  |                                    | 10%        | 25% | 50% | 75%  | 90%  |
| AC     | 2                | 6,4                                | -          | -   | -   | -    | -    |
| AL     | 0                | 0,0                                | -          | -   | -   | -    | -    |
| AM     | 11               | 16,0                               | -          | -   | -   | -    | -    |
| AP     | 0                | 0,0                                | -          | -   | -   | -    | -    |
| BA     | 12               | 4,4                                | -          | -   | -   | -    | -    |
| CE     | 4                | 10,3                               | -          | -   | -   | -    | -    |
| DF     | 10               | 3,5                                | -          | -   | -   | -    | -    |
| ES     | 13               | 11,3                               | -          | -   | -   | -    | -    |
| GO     | 9                | 11,1                               | -          | -   | -   | -    | -    |
| MA     | 4                | 6,4                                | -          | -   | -   | -    | -    |
| MG     | 39 (37)          | 5,8                                | 0,0        | 2,2 | 4,9 | 9,8  | 13,6 |
| MS     | 3                | 8,3                                | -          | -   | -   | -    | -    |
| MT     | 6                | 10,0                               | -          | -   | -   | -    | -    |
| PA     | 9                | 4,3                                | -          | -   | -   | -    | -    |
| PB     | 3                | 9,7                                | -          | -   | -   | -    | -    |
| PE     | 14               | 16,2                               | -          | -   | -   | -    | -    |
| PI     | 4                | 4,1                                | -          | -   | -   | -    | -    |
| PR     | 19 (15)          | 7,2                                | 0,0        | 0,0 | 3,2 | 8,5  | 14,2 |
| RJ     | 45 (39)          | 6,6                                | 0,0        | 0,0 | 2,9 | 8,2  | 12,5 |
| RN     | 5                | 6,4                                | -          | -   | -   | -    | -    |
| RO     | 2                | 34,5                               | -          | -   | -   | -    | -    |
| RR     | 0                | 0,0                                | -          | -   | -   | -    | -    |
| RS     | 20               | 8,1                                | 0,0        | 1,3 | 5,3 | 10,6 | 13,1 |
| SC     | 11               | 9,2                                | -          | -   | -   | -    | -    |
| SE     | 2                | 4,8                                | -          | -   | -   | -    | -    |
| SP     | 158 (150)        | 5,3                                | 0,0        | 2,0 | 4,7 | 8,5  | 13,9 |
| TO     | 1                | 0,7                                | -          | -   | -   | -    | -    |
| Brasil | 406 (374)        | 7,2                                | 0,0        | 1,2 | 4,7 | 9,9  | 16,6 |

\*Número de hospitais com CVC-dia>0 no período. Entre parênteses consta o número de hospitais que atenderam aos requisitos para o cálculo dos percentis (CVC-dia no período>50).

+Os percentis foram calculados para os grupos com nº de hospitais ≥ 15.

§=  $\frac{\text{Nº de casos novos de IPCS no período}}{\text{Nº de cateteres venosos centrais-dia}} \times 1.000$

Tabela 13: Percentis da distribuição das densidades de incidência de infecção primária de corrente sanguínea laboratorial em pacientes em uso de cateter venoso central (CVC) internados em UTI neonatal (peso ao nascer menor que 750 g), por unidade da Federação, em 2013.

| UF     | Nº de hospitais* | Densidade Incidência Laboratorial§ | Percentis+ |      |      |      |      |
|--------|------------------|------------------------------------|------------|------|------|------|------|
|        |                  |                                    | 10%        | 25%  | 50%  | 75%  | 90%  |
| AC     | 1                | 3,7                                | -          | -    | -    | -    | -    |
| AL     | 1                | 30,0                               | -          | -    | -    | -    | -    |
| AM     | 9                | 4,7                                | -          | -    | -    | -    | -    |
| AP     | 1                | 0,0                                | -          | -    | -    | -    | -    |
| BA     | 10               | 10,4                               | -          | -    | -    | -    | -    |
| CE     | 2                | 27,0                               | -          | -    | -    | -    | -    |
| DF     | 16 (9)           | 13,9                               | 0,0        | 3,7  | 7,2  | 22,0 | 25,5 |
| ES     | 17 (7)           | 10,3                               | 0,0        | 4,2  | 14,1 | 17,8 | 25,8 |
| GO     | 6                | 5,7                                | -          | -    | -    | -    | -    |
| MA     | 3                | 27,4                               | -          | -    | -    | -    | -    |
| MG     | 44 (32)          | 12,7                               | 0,1        | 0,25 | 0,5  | 0,75 | 0,9  |
| MS     | 2                | 11,0                               | -          | -    | -    | -    | -    |
| MT     | 7                | 15,6                               | -          | -    | -    | -    | -    |
| PA     | 7                | 15,4                               | -          | -    | -    | -    | -    |
| PB     | 2                | 0,0                                | -          | -    | -    | -    | -    |
| PE     | 14               | 12,5                               | -          | -    | -    | -    | -    |
| PI     | 2                | 6,8                                | -          | -    | -    | -    | -    |
| PR     | -                | -                                  | -          | -    | -    | -    | -    |
| RJ     | 49 (32)          | 9,3                                | 0,0        | 0,0  | 7,4  | 11,4 | 21,1 |
| RN     | 6                | 18,0                               | -          | -    | -    | -    | -    |
| RO     | 1                | 50,8                               | -          | -    | -    | -    | -    |
| RR     | -                | -                                  | -          | -    | -    | -    | -    |
| RS     | 19 (9)           | 2,9                                | 0,0        | 0,0  | 2,2  | 8,6  | 9,6  |
| SC     | 21 (10)          | 11,6                               | 0,0        | 0,0  | 3,9  | 14,2 | 20,1 |
| SE     | 3                | 16,1                               |            |      |      |      |      |
| SP     | 187 (104)        | 11,3                               | 0,0        | 0,0  | 8,3  | 18,4 | 26,7 |
| TO     | 3                | 0,0                                |            |      |      |      |      |
| Brasil | 433 (245)        | 11,0                               | 0,0        | 0,0  | 8,4  | 17,0 | 28,7 |

\*Número de hospitais com CVC-dia>0 no período. Entre parênteses consta o número de hospitais que atenderam aos requisitos para o cálculo dos percentis (CVC-dia no período>50).

+Os percentis foram calculados para os grupos com n° de hospitais ≥ 15.

§=  $\frac{\text{Nº de casos novos de IPCS no período}}{\text{Nº de cateteres venosos centrais-dia}} \times 1.000$

Nº de cateteres venosos centrais-dia

Tabela 14: Percentis da distribuição das densidades de incidência de infecção primária de corrente sanguínea laboratorial em pacientes em uso de cateter venoso central (CVC) internados em UTI neonatal (peso ao nascer de 750 g a 999 g), por unidade da Federação, em 2013.

| UF     | Nº de hospitais* | Densidade Incidência Laboratorial§ | Percentis+ |     |      |      |      |
|--------|------------------|------------------------------------|------------|-----|------|------|------|
|        |                  |                                    | 10%        | 25% | 50%  | 75%  | 90%  |
| AC     | 1                | 10,0                               |            |     |      |      |      |
| AL     | 1                | 9,5                                | -          | -   | -    | -    | -    |
| AM     | 11               | 12,0                               | -          | -   | -    | -    | -    |
| AP     | -                | -                                  | -          | -   | -    | -    | -    |
| BA     | 10               | 7,8                                | -          | -   | -    | -    | -    |
| CE     | 5                | 17,3                               | -          | -   | -    | -    | -    |
| DF     | 15 (13)          | 15,8                               | 0,6        | 7,0 | 14,6 | 20,5 | 24,9 |
| ES     | 18 (16)          | 9,4                                | 0,0        | 0,0 | 6,0  | 18,2 | 24,1 |
| GO     | 9                | 8,1                                | -          | -   | -    | -    | -    |
| MA     | 3                | 21,1                               | -          | -   | -    | -    | -    |
| MG     | 51 (44)          | 12,1                               | 0,0        | 0,0 | 8,7  | 14,2 | 19,6 |
| MS     | 4                | 9,0                                | -          | -   | -    | -    | -    |
| MT     | 8                | 12,1                               | -          | -   | -    | -    | -    |
| PA     | 8                | 11,3                               | -          | -   | -    | -    | -    |
| PB     | 1                | 0,0                                | -          | -   | -    | -    | -    |
| PE     | 14               | 10,7                               | -          | -   | -    | -    | -    |
| PI     | 2                | 49,6                               | -          | -   | -    | -    | -    |
| PR     | -                | -                                  | -          | -   | -    | -    | -    |
| RJ     | 53 (40)          | 7,7                                | 0,0        | 0,0 | 4,3  | 12,8 | 17,8 |
| RN     | 7                | 17,0                               | -          | -   | -    | -    | -    |
| RO     | 1                | 58,3                               | -          | -   | -    | -    | -    |
| RR     | 1                | 333,3                              | -          | -   | -    | -    | -    |
| RS     | 20 (15)          | 4,3                                | 0,0        | 0,0 | 4,3  | 10,9 | 15,4 |
| SC     | 24 (20)          | 11,1                               | 0,0        | 1,1 | 8,9  | 17,7 | 21,6 |
| SE     | 3                | 11,3                               | -          | -   | -    | -    | -    |
| SP     | 191 (162)        | 8,5                                | 0,0        | 0,0 | 5,3  | 14,2 | 22,7 |
| TO     | 3                | 5,9                                | -          | -   | -    | -    | -    |
| Brasil | 464 (377)        | 10,2                               | 0,0        | 0,0 | 6,0  | 15,2 | 22,4 |

\*Número de hospitais com CVC-dia>0 no período. Entre parênteses consta o número de hospitais que atenderam aos requisitos para o cálculo dos percentis (CVC-dia no período>50).

+Os percentis foram calculados para os grupos com nº de hospitais ≥ 15.

§=  $\frac{\text{Nº de casos novos de IPCS no período}}{\text{Nº de cateteres venosos centrais-dia}} \times 1.000$

Tabela 15: Percentis da distribuição das densidades de incidência de infecção primária de corrente sanguínea laboratorial em pacientes em uso de cateter venoso central (CVC) internados em UTI neonatal (peso ao nascer de 1.000 g a 1.499 g), por unidade da Federação, em 2013.

| UF     | Nº de hospitais* | Densidade Incidência Laboratorial§ | Percentis+ |     |     |      |      |
|--------|------------------|------------------------------------|------------|-----|-----|------|------|
|        |                  |                                    | 10%        | 25% | 50% | 75%  | 90%  |
| AC     | 1                | 3,3                                | -          | -   | -   | -    | -    |
| AL     | 1                | 19,3                               | -          | -   | -   | -    | -    |
| AM     | 12               | 12,0                               | -          | -   | -   | -    | -    |
| AP     | 10               | 24,6                               | -          | -   | -   | -    | -    |
| BA     | 11               | 8,6                                | -          | -   | -   | -    | -    |
| CE     | 5                | 13,4                               | -          | -   | -   | -    | -    |
| DF     | 16 (15)          | 12,2                               | 1,6        | 5,9 | 7,6 | 12,5 | 20,0 |
| ES     | 20 (20)          | 9,5                                | 2,7        | 5,9 | 9,1 | 16,6 | 19,1 |
| GO     | 9                | 10,1                               | -          | -   | -   | -    | -    |
| MA     | 4                | 13,2                               | -          | -   | -   | -    | -    |
| MG     | 55 (53)          | 11,0                               | 0,0        | 3,9 | 8,5 | 13,0 | 21,6 |
| MS     | 4                | 6,6                                | -          | -   | -   | -    | -    |
| MT     | 9                | 10,7                               | -          | -   | -   | -    | -    |
| PA     | 8                | 19,3                               | -          | -   | -   | -    | -    |
| PB     | 2                | 2,6                                | -          | -   | -   | -    | -    |
| PE     | 14               | 9,0                                | -          | -   | -   | -    | -    |
| PI     | 2                | 59,3                               | -          | -   | -   | -    | -    |
| PR     | -                | -                                  | -          | -   | -   | -    | -    |
| RJ     | 60 (50)          | 5,2                                | 0,0        | 0,0 | 4,0 | 7,9  | 10,5 |
| RN     | 7                | 14,5                               | -          | -   | -   | -    | -    |
| RO     | 1                | 31,9                               | -          | -   | -   | -    | -    |
| RR     | 1                | 0,0                                | -          | -   | -   | -    | -    |
| RS     | 22 (19)          | 4,5                                | 0,0        | 0,0 | 0,7 | 6,8  | 10,1 |
| SC     | 24 (22)          | 8,4                                | 0,0        | 0,0 | 5,7 | 11,4 | 17,1 |
| SE     | 3                | 7,6                                | -          | -   | -   | -    | -    |
| SP     | 205 (189)        | 8,5                                | 0,0        | 0,0 | 6,0 | 11,3 | 22,1 |
| TO     | 3                | 3,0                                | -          | -   | -   | -    | -    |
| Brasil | 509 (454)        | 9,6                                | 0,0        | 0,0 | 6,6 | 12,0 | 20,4 |

\*Número de hospitais com CVC-dia>0 no período. Entre parênteses consta o número de hospitais que atenderam aos requisitos para o cálculo dos percentis (CVC-dia no período>50).

+Os percentis foram calculados para os grupos com nº de hospitais ≥ 15.

§=  $\frac{\text{Nº de casos novos de IPCS no período}}{\text{Nº de cateteres venosos centrais-dia}} \times 1.000$

Tabela 16: Percentis da distribuição das densidades de incidência de infecção primária de corrente sanguínea laboratorial em pacientes em uso de cateter venoso central (CVC) internados em UTI neonatal (peso ao nascer de 1.500 g a 2.499 g), por unidade da Federação, em 2013.

| UF     | Nº de hospitais* | Densidade Incidência Laboratorial§ | Percentis+ |     |     |      |      |
|--------|------------------|------------------------------------|------------|-----|-----|------|------|
|        |                  |                                    | 10%        | 25% | 50% | 75%  | 90%  |
| AC     | 1                | 0,0                                | -          | -   | -   | -    | -    |
| AL     | 1                | 20,2                               | -          | -   | -   | -    | -    |
| AM     | 12               | 8,2                                | -          | -   | -   | -    | -    |
| AP     | 1                | 29,4                               | -          | -   | -   | -    | -    |
| BA     | 11               | 7,0                                | -          | -   | -   | -    | -    |
| CE     | 5                | 18,8                               | -          | -   | -   | -    | -    |
| DF     | 16 (16)          | 11,6                               | 0,0        | 2,1 | 8,0 | 13,7 | 17,2 |
| ES     | 20 (18)          | 6,0                                | 0,0        | 2,3 | 8,1 | 12,8 | 13,9 |
| GO     | 9                | 9,7                                | -          | -   | -   | -    | -    |
| MA     | 4                | 24,8                               | -          | -   | -   | -    | -    |
| MG     | 56 (56)          | 7,7                                | 0,0        | 1,8 | 5,3 | 10,1 | 14,5 |
| MS     | 4                | 8,4                                | -          | -   | -   | -    | -    |
| MT     | 9                | 11,6                               | -          | -   | -   | -    | -    |
| PA     | 8                | 29,8                               | -          | -   | -   | -    | -    |
| PB     | 2                | 0,0                                | -          | -   | -   | -    | -    |
| PE     | 14               | 10,3                               | -          | -   | -   | -    | -    |
| PI     | 2                | 60,1                               | -          | -   | -   | -    | -    |
| PR     | -                | -                                  | -          | -   | -   | -    | -    |
| RJ     | 69 (55)          | 5,6                                | 0,0        | 0,0 | 1,9 | 8,6  | 16,8 |
| RN     | 8                | 15,1                               | -          | -   | -   | -    | -    |
| RO     | 1                | 36,6                               | -          | -   | -   | -    | -    |
| RR     | 1                | 0,0                                | -          | -   | -   | -    | -    |
| RS     | 22 (20)          | 5,5                                | 0,0        | 0,0 | 1,8 | 9,8  | 10,7 |
| SC     | 24 (22)          | 8,9                                | 0,0        | 0,0 | 3,5 | 11,4 | 18,9 |
| SE     | 3                | 7,0                                | -          | -   | -   | -    | -    |
| SP     | 213 (197)        | 7,9                                | 0,0        | 0,0 | 5,2 | 12,8 | 21,6 |
| TO     | 3                | 3,4                                | -          | -   | -   | -    | -    |
| Brasil | 512 (466)        | 8,5                                | 0,0        | 0,0 | 5,3 | 11,9 | 21,4 |

\*Número de hospitais com CVC-dia>0 no período. Entre parênteses consta o número de hospitais que atenderam aos requisitos para o cálculo dos percentis (CVC-dia no período>50).

+Os percentis foram calculados para os grupos com nº de hospitais ≥ 15.

§=  $\frac{\text{Nº de casos novos de IPCS no período}}{\text{Nº de cateteres venosos centrais-dia}} \times 1.000$

Tabela 17: Percentis da distribuição das densidades de incidência de infecção primária de corrente sanguínea laboratorial em pacientes em uso de cateter venoso central (CVC) internados em UTI neonatal (peso ao nascer maior que 2.500 g), por unidade da Federação, em 2013.

| UF     | Nº de hospitais* | Densidade Incidência Laboratorial§ | Percentis+ |     |     |      |      |
|--------|------------------|------------------------------------|------------|-----|-----|------|------|
|        |                  |                                    | 10%        | 25% | 50% | 75%  | 90%  |
| AC     | 1                | 0,0                                | -          | -   | -   | -    | -    |
| AL     | 1                | 28,3                               | -          | -   | -   | -    | -    |
| AM     | 12               | 11,2                               | -          | -   | -   | -    | -    |
| AP     | 1                | 18,2                               | -          | -   | -   | -    | -    |
| BA     | 11               | 5,3                                | -          | -   | -   | -    | -    |
| CE     | 5                | 15,7                               | -          | -   | -   | -    | -    |
| DF     | 17 (17)          | 7,6                                | 0,0        | 0,0 | 4,0 | 12,9 | 15,8 |
| ES     | 20 (19)          | 8,4                                | 0,0        | 0,7 | 8,4 | 12,9 | 14,4 |
| GO     | 10               | 10,7                               | -          | -   | -   | -    | -    |
| MA     | 4                | 11,6                               | -          | -   | -   | -    | -    |
| MG     | 56 (51)          | 7,7                                | 0,0        | 0,0 | 4,5 | 10,3 | 14,8 |
| MS     | 4                | 5,5                                | -          | -   | -   | -    | -    |
| MT     | 9                | 7,4                                | -          | -   | -   | -    | -    |
| PA     | 8                | 21,2                               | -          | -   | -   | -    | -    |
| PB     | 2                | 24,7                               | -          | -   | -   | -    | -    |
| PE     | 14               | 9,7                                | -          | -   | -   | -    | -    |
| PI     | 2                | 58,3                               | -          | -   | -   | -    | -    |
| PR     | -                | -                                  | -          | -   | -   | -    | -    |
| RJ     | 63 (56)          | 3,9                                | 0,0        | 0,0 | 0,7 | 6,2  | 10,6 |
| RN     | 8                | 13,2                               | -          | -   | -   | -    | -    |
| RO     | 1                | 39,5                               | -          | -   | -   | -    | -    |
| RR     | 1                | 166,7                              | -          | -   | -   | -    | -    |
| RS     | 22 (18)          | 4,1                                | 0,0        | 0,0 | 0,7 | 9,5  | 15,1 |
| SC     | 24 (22)          | 9,2                                | 0,0        | 0,0 | 4,9 | 16,7 | 23,0 |
| SE     | 3                | 4,3                                | -          | -   | -   | -    | -    |
| SP     | 212 (187)        | 7,7                                | 0,0        | 0,0 | 6,2 | 12,0 | 17,5 |
| TO     | 3                | 0,0                                | -          | -   | -   | -    | -    |
| Brasil | 514 (449)        | 7,9                                | 0,0        | 0,0 | 5,2 | 12,0 | 18,5 |

\*Número de hospitais com CVC-dia>0 no período. Entre parênteses consta o número de hospitais que atenderam aos requisitos para o cálculo dos percentis (CVC-dia no período>50).

+Os percentis foram calculados para os grupos com nº de hospitais ≥ 15.

§=  $\frac{\text{Nº de casos novos de IPCS no período}}{\text{Nº de cateteres venosos centrais-dia}} \times 1.000$